

徳島大学工学部 正会員 杉尾捨三郎
 同上 学生員 ○土井 建朗
 同上 学生員 坂東 高

1 概説：浮遊土砂量を算定する際、河床附近の濃度の決定が大きな問題とされてい。本研究は、河床附近における浮遊砂の挙動を、流速分布の点から論じたものである。すなはち Rouse が提案した土砂濃度分布式を再検討し、その欠点を指摘するとともに、流速分布の $1/7$ 乗則が土砂流中にあって成り立つと仮定して、新たに Lane, Malinake 型の濃度分布式を誘導し、これより得られた流砂強度分布について若干の考察をおこなってい。

2 浮遊砂の濃度分布について：Rouse の濃度分布式は次式で与えられる。任意高さの濃度を C とすれば

$$\frac{C}{C_a} = \left(\frac{h-y}{h-a} \cdot \frac{a}{h-a} \right)^S \quad S = \frac{\omega_s}{\chi \cdot U_*} \quad \dots \dots \dots (1)$$

ここに、 a = 金木深、 ω_s = 沈降速度、 C_a = 河床から a の高さにおける土砂濃度である。この際次の欠速度則が利用されてい。 $\frac{U_{max}-U}{U_*} = \frac{2.3}{\chi} \cdot \log_{10} \frac{h}{y}$ (2)

この両式を用いて浮遊土砂量を算定する際、(1) 式においては、水面において常に $C=0$ となり、また河床附近でやや過大な流砂量を与えるおそれがあり、(2) 式においては、カルマン定数を変数を取り扱っても、土砂流中の流速分布を表現しつくせない弱点がある。

(1) 濃度分布式：上述の考察に基づいて、流速分布の $1/7$ 乗則が成り立つと仮定すれば、

$$\frac{U}{U_{max}} = \left(\frac{y}{h} \right)^{\frac{1}{7}}, \quad U_{max} = \frac{8}{7} \cdot \frac{g}{h} \quad (3)$$

ここに、 g = 単位巾流量である。なお(2)式と(3)式の流速分布形状は Vanoni の実験結果を用いて Fig. 1 に比較されてい。

せん断力と平均速度との間に次の関係が成り立ち、かつせん断応力分布は直線的であるとすれば、

$$T = \rho \cdot g \cdot \frac{du}{dy} = \rho \cdot g \cdot h \cdot S \left(1 - \frac{y}{h} \right) \quad \dots \dots \dots (4)$$

ここに、 ρ = エネルギーこう配、 ρ = 土砂流の密度、 h = 木深、 g = 重力加速度。式により du/dy を求めて(4)式に代入し、 y について整理して、その断面平均 S_m を考える。浮遊物質の拡散係数を水深方向に一定 ($= \gamma_m$) として取り扱えば、土砂濃度分布式は次式で与えられる。(式中の n はマニニングの粗度係数である。)

$$\frac{C}{C_a} = \exp \left(- \frac{\omega_s (y-a)}{\gamma_m} \right), \quad \gamma_m = 1.1543 \frac{h^2 \cdot U_*^2}{g} = \beta \cdot U_*, \quad \beta = 1.1543 n \cdot g^{\frac{1}{2}} \cdot h^{\frac{5}{2}} \quad (5)$$

(2) 流砂強度 γ'_s ：鉛直水深方向に単位厚さの部分を通って流送される浮遊砂量を振りに流砂強度と名付けることとし、 γ'_s と表わせば

$$\gamma'_s = U \cdot \frac{C}{C_a} \quad \dots \dots \dots (6)$$

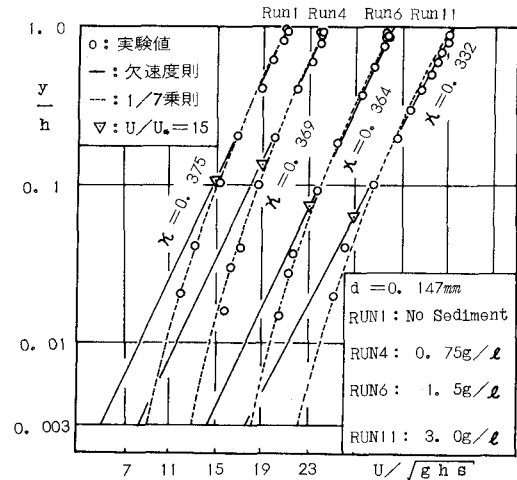


Fig. 1 欠速度則と $1/7$ 乗則

(6) 式で定義される流砂強度分布を芦田⁽²⁾の行った実験結果の一部を借用して(実験砂の粒度分布図; Fig.-2)、面濃度分布式<(1), (5)式>について比較する。流速分布は、各々、(2)式、(3)式で与えられるとする。<ただし(2)式において、 $U_{max} = U_* \cdot (8.5 + 5.75 \log h / h_s)$ を用いて>。まず実験砂を図のように10群に分割し、各粒径範囲の砂の粒径を、その幾何平均で代表させることにする。Fig.-3は、第I群の砂について計算された流砂強度分布図である。(粒径範囲 0.3~0.185mm, 全体に対する重量割合 3%, 幾何平均 0.2356mm)。諸元は次の様に与えられてあるものとする。 $h = 10\text{cm}$, 水路巾 $B = 20\text{cm}$, $\omega = 250\text{cm}^2/\text{s}$, 総流砂量 $G = 30.48/\text{s}$ 。

これらの資料から、広巾長方形断面とみなして次の諸量が計算される。 $U_* = 1.587\text{cm}/\text{s}$, マニングの $n = 0.0138$ 。

この場合、浮遊砂の最大粒径 0.3mm の砂が水深 $h = 10\text{cm}$ において限界掃流力状態に達すると仮定して岩垣公式より U_{*c} を求め、上記流量と水深の下で $U_* = U_{*c}$ となる力をマニング式から逆算した。また第I群の砂に対す

る河床付近の濃度 C_a の値は、この粒径範囲の砂の流砂量 $0.03 \times G$ と、および高さ a として最大粒径の大きさを

(0.3mm) 与えることにより逆算された。ここに流砂強度

$\frac{y_m}{h}$ の極大値を与える高さ a_m はラウス分布式、 $1/7$ 乗則を用いた場合の各々について、(7), (8)式により計算されよ。

$$\frac{y_m}{h} = 1 - 5 (3.4 + \ln \frac{y_m}{h_s}) \quad (7)$$

$$y_m = \frac{B \cdot U_*}{7 \cdot \omega_s} \quad (8)$$

3 流速分布について: 乙においては、流速分布の $1/7$ 乗則が成立として濃度分布を求めたが、ここでは逆にせん断力分布と平均速度の配から定まる係数としての粘性係数を、浮遊砂の濃度 C および粒径 d の関数として、次式のように仮定する。

$$f = U_* \cdot h \cdot f(C, d; \frac{y}{h}) \quad (9)$$

推奨のあこなった数学的取り扱いを考慮して、簡単のために、(10)式を仮定して(4)式に代入すれば、(11)式が得られる。

$$f(C, d; \frac{y}{h}) = (1 - \frac{y}{h}) \cdot (x \frac{y}{h})^n \quad (10)$$

$$\frac{dy}{dx} = \frac{U_*}{x^n h (y/h)^n} \quad (11)$$

(11)式において、 $n = 1$ とおけば(2)式、 $n = 6/7$ とおけば(3)式が得られる。

4 結 言: Fig.-3によれば、ラウス式の方は水底の 1mm 厚さ付近で流砂が集中し、特に水底に近くほど急速に y_m/h が増大することになり、現実に容認しがたい結果を与える。一方 $1/7$ 乗則を用いた場合には、水底から 2mm 厚さあたりまでは y_m/h の減少と共に y_m/h は急激に増すが、これ以下ではほぼ一定を保つと見ることができ、むしろ合理的である。

本研究は、昭和 50 年度文部省科学研究費の支給を受けてあこなわれたことを記し、謝意を表す。

参考文献: "Vito A. Vanoni: Transportation of suspended sediment by water, ASCE, June, 1944.

⁽²⁾矢野・芦田・大同: 浮遊砂による貯木池の堆砂に関する研究; 京大防災研年報, No.7, 1964.

⁽³⁾椎貝: 乱流の速度分布則について: 土木学会論文集第 152 号(昭和 43.5)

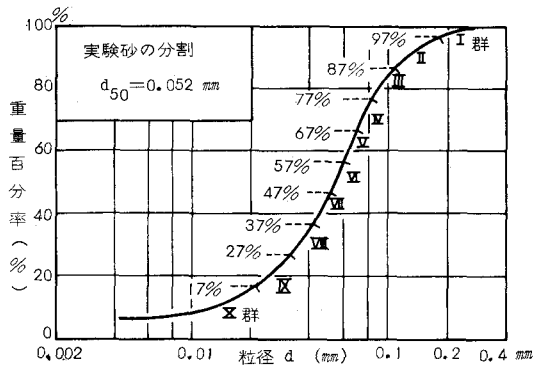


Fig. -2 使用砂の粒度分布

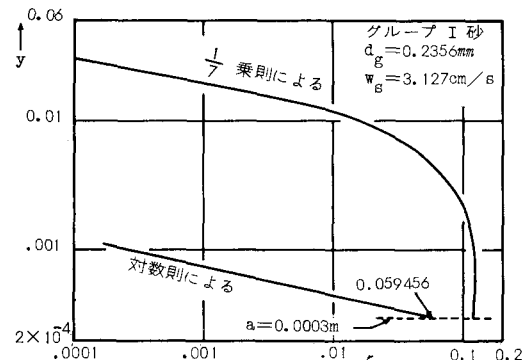


Fig. -3 流砂強度分布図